

## 7. АПЕРТУРНЫЕ АНТЕННЫ

### Основные теоретические сведения и расчетные соотношения

#### Плоские излучающие раскрыы

Для получения направленного излучения по обеим угловым координатам в диапазоне СВЧ широко применяются антенны с излучающими или отражющими поверхностями. Подобные антенны называются апертурными. Их характеристики излучения зависят как от формы поверхности, так и от амплитудно-фазового распределения поля, возбуждаемого на поверхности антennы сторонним полем или источником. При этом наибольшую направленность обеспечивает плоская синфазная поверхность с постоянным амплитудным (равноампли-тудным) распределением.

Если излучающая поверхность  $S_p$  имеет прямоугольную форму, то в дальней зоне ее нормированные амплитудные ДН описываются выражениями:

в плоскости  $E(\phi = 0)$

$$\bar{F}(\theta^H) = \frac{\sin(0,5kb_p \sin \theta^E)}{0,5kb_p \sin \theta^E} \frac{1 + \cos \theta^E}{2}; \quad (7.1)$$

в плоскости  $H(\phi = \pi/2)$

$$\bar{F}(\theta^H) = \frac{\sin(0,5ka_p \sin \theta^H)}{0,5ka_p \sin \theta^H} \frac{1 + \cos \theta^H}{2}, \quad (7.2)$$

где  $a_p$  и  $b_p$  — размеры раскрыва антennы (апертуры);  $\theta$  — угол в радианах между нормалью к поверхности антennы (ось  $Oz$ ) и направлением в точку наблюдения.

Ширина ДН апертурных антenn и уровень боковых лепестков в соответствующих плоскостях могут быть найдены по формулам (6.59)–(6.61) для ЛНС, в которых следует положить  $\Theta_0 = \pi/2$ .

При спадающем до нуля параболическом законе распределения поля одной из осей прямоугольной излучающей поверхности, например вдоль оси  $Oy$ , нормированная амплитудная ДН антennы в плоскости, проходящей через данную ось (плоскость  $H$ ), имеет вид

$$\bar{F}(\theta^H) = \frac{\cos(0,5ka_p \sin \theta^H)}{(0,5\pi)^2 - (0,5ka_p \sin \theta^H)^2} \frac{\pi^2(1 + \cos \theta^H)}{8}, \quad (7.3)$$

и ширина (в радианах) ДН антennы равна:  
на уровне 0,5 по мощности

$$2\theta_{0,5}^H \approx 1,18\lambda/a_p;$$

на уровне нулевого излучения

$$2\theta_0^H \approx 3\lambda/a_p.$$

Если излучающая поверхность  $S_p$  круглой формы, то при равномерном распределении поля по раскрыву антennы выражения для нормированной амплитудной ДН и ее ширины (в радианах) в главных плоскостях имеют вид:

$$\bar{F}(\theta) = \frac{J_1(0,5kd_p \sin \theta)}{0,5kd_p \sin \theta} (1 + \cos \theta); \quad (7.6)$$

$$2\theta_{0,5} = 1,02\lambda/d_p;$$

$$2\theta_0 = 2,44\lambda/d_p,$$

где  $d_p$  — диаметр раскрыва;  $J_1(0,5kd_p \sin \theta)$  — функция Бесселя первого порядка.

При спадающем до нуля параболическом законе распределения поля соответствующие выражения записываются так:

$$\bar{F}(\theta) = \frac{4J_2(0,5kd_p \sin \theta)}{(0,5kd_p \sin \theta)^2} (1 + \cos \theta); \quad (7.9)$$

$$2\theta_{0,5} = 1,27\lambda/d_p;$$

$$2\theta_0 = 3,26\lambda/d_p,$$

где  $J_2(0,5kd_p \sin \theta)$  — функция Бесселя второго порядка.

КНД плоского излучающего раскрыва в направлении максимума излучения определяется по формуле

$$D_0 = 4\pi S_{3\Phi}/\lambda^2, \quad (7.12)$$

где  $S_{3\Phi}$  — эффективная площадь раскрыва антennы, равная

$$S_{3\Phi} = S_p V, \quad (7.13)$$

$B$  (7.13)  $S_p$  — геометрическая площадь раскрыва;  $v$  — КИП раскрыва, зависящий от амплитудно-фазового распределения поля в раскрыве. При различных в плоскостях  $E$  и  $H$  амплитудно-фазовых распределениях, что обычно имеет место, КИП в этих плоскостях будет принимать разные значения. Значение  $v$  в зависимости от вида синфазного амплитудного распределения поля в раскрывах прямогольной и круглой излучающих апертур приведены в табл. 11. 12.

При несинфазном возбуждении излучающей апертуры ее направленные свойства ухудшаются.

#### Волноводные излучатели и рупорные антенны

Простейшим излучателем в диапазоне СВЧ является открытый конец прямоугольного или круглого волновода (рис. 7.1). Так как электрические размеры поперечного сечения волноводов обычно меньше длины волны, то подобные антенны являются слабонаправленными.

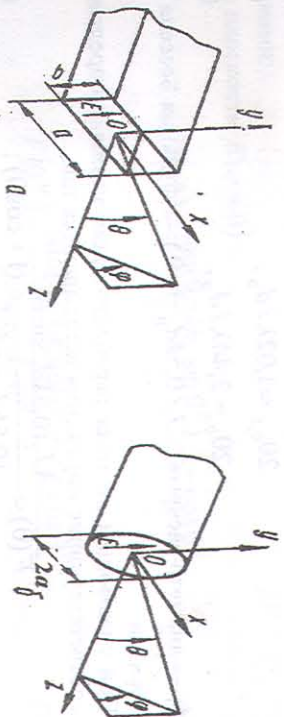


Рис. 7.1. Волноводные излучатели:  $a$  — на прямоугольном,  $b$  — на круглом волноводах

Излучатель в виде открытого конца прямоугольного волновода, возбуждаемого волной  $H_{10}$ , характеризуют параметры: ширина ДН (в радианах) в плоскости  $H$  ( $\phi = 0$ )

$$2\theta_{0,5}^H = 1,18\lambda/a; \quad (7.14)$$

ширина ДН (в радианах) в плоскости  $E$  ( $\phi = \pi/2$ )

$$2\theta_{0,5}^E = 0,89\lambda/b; \quad (7.15)$$

КНД в направлении максимума излучения

$$D_0 = 4\pi abv/\lambda^2 \approx 10,2ab/\lambda^2, \quad (7.16)$$

где  $a, b$  — размеры сечения волновода;  $v$  — КИП раскрыва, равный 0,81.

Те же параметры для излучателя в виде открытого конца круглого волновода при возбуждении его волной  $H_{11}$  имеют вид:

$$2\theta_{0,5}^H = 1,62\lambda/(2a); \quad (7.17)$$

$$D_0 = v(2\pi a/\lambda)^2 \approx 8,3(2a/\lambda)^2, \quad (7.18)$$

где  $2a$  — внутренний диаметр волновода;  $v$  — КИП раскрыва, равный 0,84.

Для получения большей направленности волноводный излучатель превращают в рупорную антенну. Наиболее распространены являются секториальные, пирамидальные и конические рупоры с прямыми образующими (рис. 7.2).

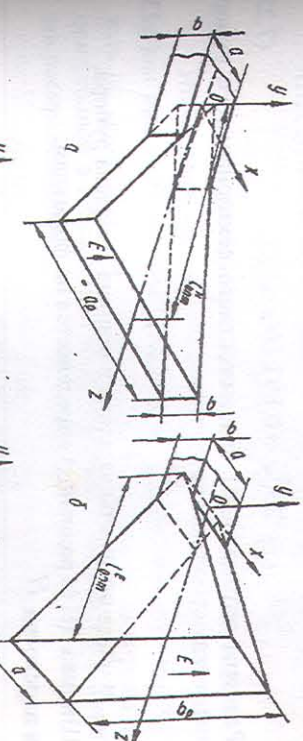


Рис. 7.2. Типы рупорных антенн

Форма главного лепестка амплитудной ДН рупорной антенны зависит от угла раскрытия рупора. При постоянной длине рупора наибольшая направленность излучения у секториальных рупоров имеет место при углах раскрытия, которые соответствуют изменениям фазы (в радианах) на краях раскрытия:  $\Phi = 3\pi/4$  в плоскости  $H$  и  $\Phi = \pi/2$  в плоскости  $E$ . Рупоры с такими значениями максимальных изменений фазы на краях раскрытия получили название оптимальных.

Размеры оптимального  $H$ -плоскостного секториального рупора связаны между собой соотношением

$$L_{\text{опт}}^H = a_p^2 / (3\lambda), \quad (7.20)$$

где  $L_{\text{опт}}^H$  и  $a_p$  — оптимальная длина, т.е. расстояние от вершины до раскрытия рупора, и ширина раскрытия рупора.

Ширина ДН (в радианах) определяется по формулам:

в плоскости  $H$

$$2\theta_{0,5}^H = 1,4\lambda / a_p; \quad (7.21)$$

в плоскости  $E$

$$2\theta_{0,5}^E = 0,89\lambda / b_p. \quad (7.22)$$

Размеры оптимального  $E$ -плоскостного секториального рупора связаны между собой соотношением

$$L_{\text{опт}}^E = b_p^2 / (2\lambda), \quad (7.23)$$

где  $L_{\text{опт}}^E$  и  $b_p$  — оптимальная длина и ширина раскрытия рупора. Ширина ДН (в радианах) определяется по формулам:

в плоскости  $H$

$$2\theta_{0,5}^H = 1,18\lambda / a; \quad (7.24)$$

в плоскости  $E$

$$2\theta_{0,5}^E = 0,93\lambda / b_p. \quad (7.25)$$

КИД в направлении максимума излучения оптимальных секториальных рупоров рассчитывается как

$$D_0 = 4\pi v S_p / \lambda^2 \approx 8S_p / \lambda^2, \quad (7.26)$$

где  $S_p$  — площадь раскрытия рупора;  $v$  — КИП раскрытия рупора, равный 0,64.

Секториальные рупоры по сравнению с волноводными излучателями обеспечивают большую направленность только в одной из главных

плоскостей. Для получения направленности в обеих плоскостях используются пирамидальные рупорные антенны. Пирамидальный рупор может быть остроконечным, если ребра рупора сходятся в одной точке ( $L_{\text{опт}}^H = L_{\text{опт}}^E$ ), или клиновидным, если ребра не сходятся в одной точке ( $L_{\text{опт}}^H \neq L_{\text{опт}}^E$ ). Размеры оптимального пирамидального клиновидного рупора рассчитываются по формулам (7.20) и (7.23), а остроконечного — по формулам

$$L_{\text{опт}} = a_p^2 / (3\lambda), \quad b_p = 0,8a_p. \quad (7.27)$$

Ширина ДН (в радианах) оптимального пирамидального рупора в главных плоскостях определяется по формулам:

в плоскости  $H$

$$2\theta_{0,5}^H = 0,93\lambda / b_p; \quad (7.28)$$

в плоскости  $E$

$$2\theta_{0,5}^E = 0,62\lambda / a_p. \quad (7.29)$$

КИД оптимального пирамидального рупора рассчитывается как

$$D_0 = 4\pi v a_p b_p / \lambda^2 \approx 6,2 a_p b_p / \lambda^2, \quad (7.30)$$

где  $v$  — КИП раскрытия, равный 0,49.

Нормированные амплитудные ДН пирамидальной рупорной антенны при возбуждении ее волной  $H_{10}$  приближенно можно рассчитать по формулам для прямоугольной синфазной апертуры с косинусоидальным в плоскости  $H$  и постоянным в плоскости  $E$  амплитудными распределениями:

$$\bar{F}(\theta^H) = \frac{\cos\left(\frac{\pi a_p}{\lambda} \sin\theta^H\right)}{1 + \cos\theta^H} \cdot \frac{1 - \left(\frac{2a_p}{\lambda} \sin\theta^H\right)^2}{2}; \quad (7.31)$$

$$\bar{F}(\theta^E) = \frac{\sin\left(\frac{\pi b_p}{\lambda} \sin\theta^E\right)}{\frac{\pi b_p}{\lambda} \sin\theta^E} \cdot \frac{1 + \cos\theta^E}{2}, \quad (7.32)$$

где  $\theta^H$ ,  $\theta^E$  — углы, отсчитываемые от оси рупора в плоскостях  $H$  и

$E$  соответственно.

Размеры оптимального конического рупора, возбуждаемого волной основного типа круглого волновода, связаны между собой соотношением

$$L_{\text{опт}} = d_p^2 / (2,4\lambda) - 0,15\lambda, \quad (7.33)$$

где  $L_{\text{опт}}$ ,  $d_p$  — оптимальная длина и диаметр раскрыва рупора.

Ширина ДН (в радианах) оптимального конического рупора составляет:

в плоскости  $H$

$$2\theta_{0,5}^H \approx 1,23\lambda / d_p; \quad (7.34)$$

в плоскости  $E$

$$2\theta_{0,5}^E \approx 1,05\lambda / d_p. \quad (7.35)$$

КИД в направлении максимума излучения такой антенны определяется по формуле

$$D_0 = v (\pi d_p / \lambda)^2 \approx 5(d_p / \lambda)^2, \quad (7.36)$$

где  $v$  — КИП раскрыва, равный 0,51.

Потери в рупорных антенных малы, и в расчетах обычно принимают КПД  $\approx 1$ .

### Зеркальные антенны

Осьсимметричные параболические зеркальные антенны часто возбуждаются полуволновым вибратором с рефлектором или пирамидальным рупором, фазовые центры которых должны находиться в фокусе параболоида (рис. 7.3). Если облучатель создает сферическую волну, то за счет свойств параболоида сферическая волна преобразуется на выходе апертуры в плоскую, а относительно широкая ДН облучателя — в узкую ДН зеркальной антенны. Уравнение профиля оссимметричного параболического зеркала в декартовой системе координат определяется формулой

$$R(\psi) = \frac{2f_a}{1 + \cos \psi}, \quad (7.37)$$

где  $R$  — расстояние из фокуса до произвольной точки на поверхности зеркала;

$\psi$  — угол между осью зеркала и направлением из фокуса в произвольную точку на поверхности зеркала;

$f_a$  — фокусное расстояние (расстояние от вершины зеркала до фокуса).

В направлении зеркала нормированная амплитудная ДН облучателя приближенно может быть описана выражением

$$\bar{F}_{\text{обл}}(\psi) \approx \cos^m \psi, m \geq 1.$$

Для полуволнового вибратора с линейным рефлектором  $m = 1$ ; для вибратора с дисковым рефлектором  $m = 2$ ; для рупорных облучателей  $m \geq 3$ .

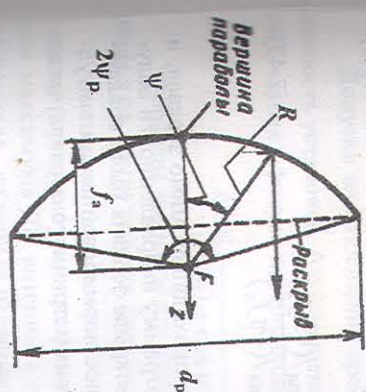


Рис. 7.3. Профиль параболического зеркала

Таблица 7.1

$m$	$f_{\text{опт}} / d_p$
1	0,34–0,40
2	0,40–0,50
3	0,50–0,625

Диаметр раскрыва  $d_p$ , полный угол раскрыва зеркала  $2\Psi_p$  и его фокусное расстояние  $f_a$  связаны между собой соотношением

$$d_p = 4f_a \operatorname{tg}(\Psi_p / 2). \quad (7.38)$$

Параболическую антенну с осьсимметричным зеркалом (параболоидом вращения) и облучателем линейной поляризации различных типов при оптимальном фокусном расстоянии характеризуют параметры:

$$2\theta_{0,5}^H \approx 1,2\lambda / d_p; \quad (7.39)$$

ширина ДН (в радианах) в плоскости  $E$  ( $\varphi = \pi/2$ )

$$2\theta_{0,5}^E \approx 1,3\lambda / d_p; \quad (7.40)$$

КИД в направлении максимума излучения

$$D_0 \approx 5,5(d_p/\lambda)^2; \quad (7.41)$$

КБВ в фидере облучателя

$$K_{\text{БВ}} = \frac{1 - \lambda D_{\text{обн}}/(4\pi f_a)}{1 + \lambda D_{\text{обн}}/(4\pi f_a)}, \quad (7.42)$$

где  $D_{\text{обн}}$  — КИД облучателя.

С целью уменьшения доли энергии, проходящей мимо зеркала, и снижения уровня боковых лепестков диаграмму направленности облучателя выбирают такой, чтобы поле в раскрытии зеркала было спадающим к его краю. В этом случае синфазное нормированное амплитудное распределение поля в раскрытии осесимметричного зеркала часто аппроксимируется полиномом вида

$$\bar{I}(\bar{r}) = (1 - \delta) + \delta(1 - \bar{r}^2)^n, \quad n = 1, 2, \dots, \quad (7.43)$$

где  $(1 - \delta)$  — уровень поля на краю раскрытия относительно максимального значения в центре, равного единице при  $\delta = 0$ ;  $\bar{r}$  — нормированная на радиус зеркала  $a_p$  координата в раскрытии.

Тогда нормированная амплитудная ДН параболической зеркальной антенны приближенно может быть рассчитана по теореме о перемножении диаграмм направленности (5.40), как произведение ДН элемента Гюйгенса  $\bar{F}_{\text{эл}}(\theta) = (1 + \cos\theta)/2$  и множителя направленности круглого синфазного раскрытия (апertureы)

$$\bar{f}_\Sigma(\theta) = \left[ (1 - \delta)\Lambda_1(u) + \delta \frac{\Lambda_{n+1}(u)}{n+1} \right]. \quad (7.44)$$

Для остронаправленных антенн в пределах главного лепестка ДН можно считать  $\bar{F}_{\text{эл}}(\theta) \approx 1$ , т.е. ДН зеркальной антенны в основном определяется множителем направленности апертуры. В (7.44) специальная функция  $\Lambda_n(u) = \frac{n! J_n(u)}{(u/2)^n}$  называется ламбда-функцией порядка  $n$  и

выражается через функцию Бесселя того же порядка;  $u = ka_p \sin\theta$ . В направлении максимума излучения ( $\theta = 0$ ) имеем  $\Lambda_1(0) = 1$ ; функции более высоких порядков при этом значении аргумента обращаются в нуль.

Поляризация излучения зеркальных антенн определяется поляризацией облучателя. При этом необходимо учитывать, что в случае круговой поляризации при отражении от металлического зеркала направление вращения плоскости поляризации меняется на противоположное. В случае линейной поляризации ее характер при отражении не меняется.

Допуски на отклонение профиля зеркала  $\Delta\rho_1$  от параболы и на точность установки  $\Delta z$  (смещение в сторону зеркала) фазового центра облучателя в фокусе параболоида определяются по формулам

$$\Delta\rho \leq \frac{\lambda}{16(1 + \cos\psi)}; \quad \Delta z \leq \frac{\lambda}{16(1 - \cos\psi)}. \quad (7.45)$$

Формулы записаны для случая максимальных фазовых искажений поля в раскрытии зеркала, равных  $\pi/8$ .

Смещение  $\Delta x$  фазового центра облучателя из фокуса в направлении, перпендикулярном фокальной оси зеркала, вызывает отклонение максимума ДН антенны в сторону, противоположную смещению облучателя, на угол (в радианах)

$$\delta\theta \approx K_p \Delta x / f_a, \quad (7.46)$$

где  $K_p$  — коэффициент, зависящий от размеров и фокусирующих свойств антенны, определяемый по формуле

$$K_p \approx 1 - 0,5(0,25d_p/f_a)^2. \quad (7.47)$$

Для уменьшения реакции зеркала на облучатель вблизи вершины параболоида на его оси может устанавливаться плоский компенсирующий отражатель. Диаметр  $d_k$  этого отражателя и его минимальное удаление  $Z_k$  от вершины параболоида (вдоль оси) определяются по формулам

$$d_k = \sqrt{4\lambda f_a / \pi}; \quad Z_k = \lambda / 24. \quad (7.48)$$

Другим способом уменьшения реакции зеркала на облучатель является использование усеченного параболоида с облучателем, вынесенным из поля действия отраженных от параболоида волн. Такая антenna имеет ширину луча на уровне 0,5 по мощности (в радианах): в плоскости  $H$

$$2\theta_{0,5}^H \approx 1,2\lambda / d_p; \quad (7.49)$$

выражается через функцию Бесселя того же порядка;  $u = ka_p \sin\theta$ . В направлении максимума излучения ( $\theta = 0$ ) имеем  $\Lambda_1(0) = 1$ ; функции более высоких порядков при этом значении аргумента обращаются в нуль.

в плоскости  $E$

$$2\theta_{0,5}^E \approx 1,2\lambda / a_p, \quad (7.50)$$

где  $d_p$  и  $a_p$  — размеры раскрыва зеркала в указанных плоскостях.

Для уменьшения массы и ветровой нагрузки, а также снижения уровня кроссполяризованного излучения поверхность зеркала перфорируют или выполняют решетчатой. Коэффициент прохождения (пресечения) электромагнитной энергии через перфорированную поверхность рассчитывается по формуле

$$T_{\text{пп}} = \left( \frac{8 d_{\text{от}} S_{\text{от}}}{3 \lambda S_p} \right), \quad (7.51)$$

где  $d_{\text{от}}$  — диаметр отверстий;  $S_{\text{от}}$  — общая площадь всех отверстий в рефлекторе;  $S_p$  — площадь отражательной поверхности.

С целью уменьшения осевого размера, увеличения КИП и КПД, для снижения шумовой температуры параболической антенны, что очень важно при использовании последней в системах космической связи, к основному параболическому зеркалу 1 часто добавляют вспомогательное (малое) зеркало в виде гиперболоида вращения 2, один из фокусов которого (точка  $F_1$ ) совмещают с фокусом основного зеркала, а в фокусе второго зеркала (точка  $F_2$ ) помещают облучатель (рис. 7.4).

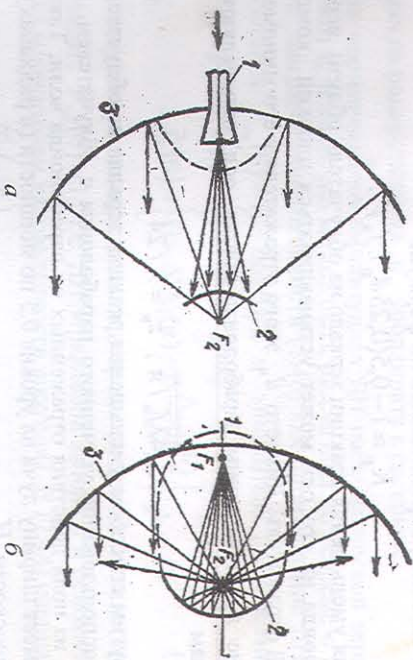


Рис. 7.4. Схемы построения двухзеркальных антенн Кассаткина (а) и Грегори (б): 1 — облучатель, 2 — малое зеркало, 3 — большое зеркало

Геометрические размеры такой двухзеркальной антенны, называемой антенной Кассаткина, определяются по формулам

$$\left. \begin{aligned} d_1 &\approx 1,2\lambda/(2\theta_{0,5}); & f_1 &\approx 0,35d_1; & d_2 &\approx 0,15d_1; \\ f_2 &\approx 0,5d_2(0,35 + \operatorname{ctg}\theta_2); \end{aligned} \right\} \quad (7.52)$$

$\theta_{0,5}$  — ширина луча антенны на уровне 0,5 по мощности в главных плоскостях ( $E$  или  $H$ );  $d_1$  и  $f_1$  — диаметр и фокусное расстояние большого зеркала;  $d_2$  и  $f_2$  — диаметр и фокусное расстояние малого зеркала;  $2\theta_2$  — полный угол раскрытия малого зеркала.

Если высокая направленность зеркальной антенны требуется только в одной плоскости, то вместо параболоида вращения используются зеркало в виде параболического цилиндра. Параболический цилиндр обычно возбуждается линейным облучателем, расположенным вдоль фокальной оси цилиндра и преобразует цилиндрический фронт волн облучателя в плоский. Такую антенну при синфазном и равномерном амплитудном распределении поля вдоль фокальной оси характеризуют параметры:

а) ширина ДН на уровне 0,5 по мощности (в радианах) в плоскости  $xOz$

$$2\theta_{0,5} = 1,27\lambda/d_p; \quad (7.53)$$

в плоскости  $yOz$

$$2\theta_{0,5}^{yOz} = 0,89\lambda/a_p; \quad (7.54)$$

б) КНД в направлении максимума излучения

$$D_0 \approx 10a_p d_p / \lambda^2; \quad (7.55)$$

в) КБВ в фидере облучателя

$$K_{\text{БВ}} = \frac{1 - \frac{D_{\text{обн}}}{2\pi} \sqrt{\lambda/f_a}}{1 + \frac{D_{\text{обн}}}{2\pi} \sqrt{\lambda/f_a}}. \quad (7.56)$$

Здесь  $d_p$ ,  $a_p$  и  $f_a$  — диаметр раскрытия, длина образующей и фокусное расстояние цилиндрического зеркала;  $D_{\text{обн}}$  — КНД облучателя.

### Линзовые антенны

Линзовье антенны состоят из электромагнитной линзы и облучателя, фазовый центр которого совмещен с фокусом линзы. Чаще всего используются диэлектрическая, или замедляющая (рис. 7.5), и металлическая, или ускоряющая (рис. 7.6), линзы.

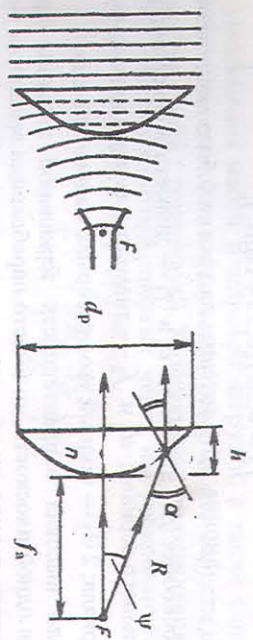


Рис. 7.5. Диэлектрическая линза (а) и ход лучей в ней (б)

Уравнение профиля замедляющей и ускоряющей линз в сферической системе координат определяется формулой

$$R(\psi) = \left( \frac{n-1}{n \cos \psi - 1} \right) f_a, \quad (7.57)$$

где \$R\$ — расстояние из фокуса до произвольной точки на поверхности линзы; \$\psi\$ — угол между осью линзы и направлением из фокуса в произвольную точку на поверхности линзы; \$f\_a\$ — фокусное расстояние; \$n\$ — коэффициент преломления линзы.

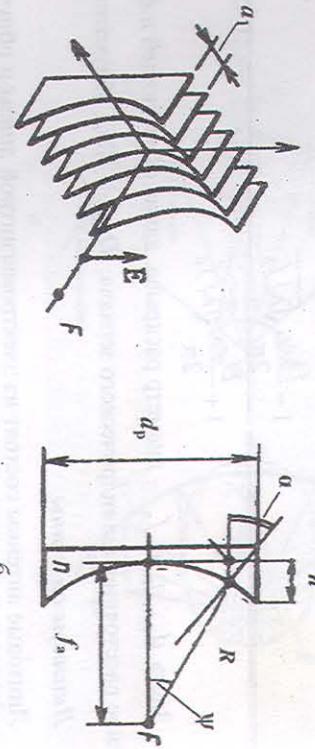


Рис. 7.6. Металлопластичная линза (а) и ход лучей в ней (б)

Диэлектрические линзы имеют коэффициент преломления \$n = \sqrt{\varepsilon} > 1\$, где \$\varepsilon\$ — относительная диэлектрическая проницаемость материала линзы. Толщина \$h\$ гладкой диэлектрической линзы находится по формуле

$$h = \sqrt{\left( \frac{f_a}{n+1} \right)^2 + \frac{d_p^2}{4(n^2-1)}} - \frac{f_a}{n+1}, \quad (7.58)$$

где \$d\_p\$ — размер (прямоугольного) или диаметр (круглого) раскрыва линзы.

Металлопластичные линзы имеют коэффициент преломления

$$n = \sqrt{1 - (\lambda / 2a_1)^2} < 1,$$

где \$a\_1\$ — расстояние между параллельными пластинами линзы. В отличие от диэлектрических коэффициент преломления металлопластичных линз зависит от частоты, поэтому они сравнительно узкополосны. Относительная ширина полос рабочих частот гладкой металлопластичной линзы (в процентах) рассчитывается по формуле

$$\frac{\Delta f}{f_{\text{ср}}} = \frac{50\lambda_{\text{ср}} n}{(1-n^2)h}, \quad (7.59)$$

где \$h\$ — толщина гладкой металлопластичной линзы, определяемая по формуле

$$h = \frac{f_a}{n+1} - \sqrt{\left( \frac{f_a}{n+1} \right)^2 - \frac{d_p^2}{4(1-n^2)}}, \quad (7.60)$$

Если известны \$d\_p\$ и \$h\$, то полный угол раскрытия линзы \$2\Psi\_p\$ находится как

$$\left. \begin{aligned} \Psi_p &= \arctg \left[ \frac{d_p}{2(f_a + h)} \right] && \text{при } n > 1; \\ \Psi_p &= \arctg \left[ \frac{d_p}{2(f_a - h)} \right] && \text{при } n < 1. \end{aligned} \right\} \quad (7.61)$$

Для электромагнитных линз отношение \$f\_a / d\_p\$ может находиться в пределах от 0,7 до 1,6; на практике часто выбирают \$f\_a \approx d\_p\$.

Чтобы уменьшить толщину линзы, сделать ее более широкополосной и технологичной, применяют зонированные (ступенчатые) линзы.

Размеры зонированной диэлектрической линзы определяются по формулам:

а) ширина ступеньки

$$z_1 = \frac{\lambda}{n-1}; \quad (7.62)$$

б) толщина ступеньки

$$h = z_1 + z_2, \quad (7.63)$$

где  $z_2$  — утолщение линзы, выбираемое из условия обеспечения ее механической прочности;

в) общее число зон

$$q = 1 + (f_q - f_a)(n-1)/\lambda, \quad (7.64)$$

$$\text{где } f_q = \frac{n f_a / \sqrt{f_a^2 + (0.5 d_p)^2}}{n-1} \sqrt{(0.5 d_p)^2 + (f_a + h)^2}.$$

Размеры зонированной металлопластинчатой линзы определяются по формулам:

а) ширина ступеньки

$$z_1 = \frac{\lambda}{1-n}; \quad (7.65)$$

б) толщина ступеньки

$$h = z_1 + z_2; \quad (7.66)$$

в) общее число зон

$$q = 1 + (f_q - f_a)(1-n)/\lambda, \quad (7.67)$$

$$\text{где } f_q = \frac{\sqrt{f_a^2 + (0.5 d_p)^2} - n f_a}{1-n}.$$

Относительная ширина полосы рабочих частот зонированных линз (в процентах) рассчитывается по формуле

$$\frac{\Delta f}{f_{cp}} = \frac{50}{q+1/n}. \quad (7.68)$$

При известном распределении возбуждающего поля в раскрыве осесимметричной линзы нормированные амплитудные ДН линзовых антенн приближенно могут быть рассчитаны по теореме о перемножении диаграмм направленности как произведение ДН элемента Гюйгенса

$\bar{F}_{\text{up}}(\theta)$  и множителя направленности круглого синфазного раскрыва (7.44). При этом в (7.44) необходимо  $\lambda$  заменить на  $\lambda_{\text{up}} = \lambda/\sqrt{\epsilon}$ . Для остронаправленных антенн  $\bar{F}_{\text{up}}(\theta) \approx 1$ , и ДН антенны в основном определяется множителем направленности апертуры. С целью уменьшения доли энергии, проходящей мимо линзы, и снижения уровня боковых лепестков ДН облучателя выбирают такой, чтобы поле в раскрыве линзы было спадающим к ее краю.

В качестве облучателя антенны на сферической (цилиндрической) линзе может использоваться укороченный пирамидальный (секториальный) рупор, который создает сферическую (цилиндрическую) волну и имеет широкую ДН. Установив линзу в раскрыве так, чтобы ее фокус находился в фазовом центре рупора, можно сферическую или цилиндрическую волну, распространяющуюся в рупоре, преобразовать в плоскую и тем самым существенно уменьшить фазовые искажения в раскрыве рупора и увеличить его направленность. Нормированные импульсные ДН таких антенн, называемых рупорно-линзовыми, в главных плоскостях могут быть рассчитаны по формулам (7.31), (7.32) для прямоугольной синфазной апертуры с заменой  $\lambda$  на  $\lambda_{\text{up}} = \lambda/\sqrt{\epsilon}$ .

КНД линзовых антенн в направлении максимума излучения определяется как

$$D_0 \approx 7.5 S_p / \lambda^2, \quad (7.69)$$

где  $S_p$  — площадь раскрыва линзы.

КПД антенны с диэлектрической линзой определяется формулой

$$\eta = \exp \left( - \frac{2\pi h n}{\lambda} \operatorname{tg} \delta \right), \quad (7.70)$$

где  $n = \sqrt{\epsilon}$ ;  $h$  — толщина линзы.

КУ линзовых антенн в направлении максимума излучения рассчитывают по формуле (5.16).

КБВ в фидере облучателя линзовой антенны равен:  $1/n$  — для диэлектрических линз;  $n$  — для металлопластинчатых линз.

Допуски на отклонение профиля диэлектрической линзы  $\Delta r_1$  от теоретической кривой и на точность установки  $\Delta z$  фазового центра облучателя в фокусе линзы определяются по формулам

$$\Delta r \leq \frac{\lambda}{16(n-1)}; \quad \Delta z \leq \lambda/2. \quad (7.71)$$

Для металлопластиинчатой линзы аналогичные допуски рассчитываются по формулам

$$\Delta p \leq \frac{\lambda}{16(1-n)}, \quad \Delta z \leq \lambda/2. \quad (7.72)$$

Допуск на расстояние между пластинами  $\Delta a_1$  определяется по формуле

$$\Delta a_1 \leq \frac{n\lambda a_1}{2d_p(1+n)}. \quad (7.73)$$

Отклонение максимума ДН линзовой антенны при смещении фокального центра облучателя из фокуса в направлении, перпендикулярном фокальной оси линзы, происходит так же, как и в случае параболической антенны и определяется по формуле (7.46).

Поляризация излучения линзовых антенн, как и в случае зеркальных антенн, определяется поляризацией облучателя.

#### Примеры решения типовых задач

1. Максимальный КНД оптимального  $H$ -плоскостного секториального рупора равен  $D_0 = 17,5$ . Определить ширину ДН рупора на уровне 0,5 по мощности в плоскости  $H$ , если ширина ДН на указанном уровне в плоскости  $E$  равна  $2\theta_{0,5}^E = 1,15$  рад.

*Решение*

Из формулы (7.26) следует  $D_0 \cong 8a_p b / \lambda^2$ . Один из размеров

раскрыва рупора согласно формуле (7.22) равен  $\frac{b}{\lambda} = \frac{0,89}{2\theta_{0,5}^E}$ . С учетом этого  $D_0 = \frac{8a_p}{\lambda} \frac{b}{\lambda} = \frac{8a_p}{\lambda} \frac{0,89}{2\theta_{0,5}^E D_0}$ , откуда  $\frac{a_p}{\lambda} = \frac{20^E}{\lambda} \frac{0,89}{2\theta_{0,5}^E}$ .

Используя формулу (7.21), получаем

$$20_{0,5}^H = 1,4 \frac{\lambda}{a_p} = 1,4 \frac{8 \cdot 0,89}{20^E \cdot D_0} = 1,4 \frac{8 \cdot 0,89}{1,15 \cdot 17,5} = 0,495 \text{ рад.}$$

2. Определить размеры и параметры оптимального остроконечного пирамидального рупора, возбуждаемого на волне  $\lambda = 7$  см. Длина

*Решение* Определим размеры раскрыва рупора. Пользуясь соотношениями (7.27), получаем

$$a_p = \sqrt{3L_{\text{опт}}\lambda} = \sqrt{3 \cdot 84 \cdot 7} = 42 \text{ см};$$

$$b_p = 0,8a_p = 0,8 \cdot 42 = 33,6 \text{ см.}$$

По формулам (7.28)–(7.30) находим:

$$2\theta_{0,5}^H = 1,4 \frac{\lambda}{a_p} = 1,4 \cdot \frac{7}{42} \approx 0,233 \text{ рад.}$$

$$2\theta_{0,5}^E = 0,93 \frac{\lambda}{b_p} = 0,93 \cdot \frac{7}{33,6} \approx 0,194 \text{ рад.}$$

$$D_0 \approx 6,2 \frac{a_p b_p}{\lambda^2} = 6,2 \cdot \frac{42 \cdot 33,6}{7^2} \approx 178.$$

3. Определить размеры раскрыва оптимального пирамидального рупора, максимальный КНД которого  $D_0 = 240$ . Ширина ДН рупора на уровне 0,5 по мощности в главных плоскостях одинакова ( $2\theta_{0,5}^H = 2\theta_{0,5}^E$ ), а длина волны равна  $\lambda = 2$  см.

*Решение*

Для решения воспользуемся формулами (7.28)–(7.30). Из формул (7.28) и (7.29) имеем  $1,4\lambda/a_p = 0,93/b_p$ , откуда  $b_p = 0,665 a_p$ .

Используя формулу (7.30), находим

$$a_p = \lambda \sqrt{\frac{D_0}{6,2 \cdot 0,665}} \cong 2 \sqrt{\frac{240}{4,12}} \cong 15,3 \text{ см.}$$

$$b_p = 0,665 a_p = 0,665 \cdot 15,3 \cong 10,2 \text{ см.}$$

4. Рассчитать пирамидальный рупор, который при возбуждении его прямоугольным волноводом МЭК-100 на волне длиной  $\lambda = 3$  см имеет КНД в направлении максимума излучения не менее 40.

*Решение*

Размеры рупора в горловине определяются внутренними размерами волновода  $a = 22,85$  мм;  $b = 10,16$  мм.

Площадь раскрыва рупора  $S_p$  определяем из формулы (7.30). Она равна  $S_p = \frac{D_0 \lambda^2}{6,2} = \frac{40 \cdot 9}{6,2} \cong 58 \text{ см}^2$ . Размеры сторон раскрыва рупора

$a_p$  и  $b_p$  находим, исходя из оптимального соотношения между ними

$$(7.27): b_p = 0,8a_p = \frac{0,8S_p}{b_p} = \frac{46,5}{b_p}, \text{ откуда}$$

$$b_p = \sqrt{46,5} \approx 6,82 \text{ см}; a_p = \frac{6,82}{0,8} \approx 8,52 \text{ см.}$$

Длину рупора определяем из (7.27)  $L_{\text{опт}} = \frac{a_p^2}{3\lambda} = \frac{(8,52)^2}{3 \cdot 3} \approx 8,07 \text{ см.}$

Диаграммы направленности можно рассчитать по формулам (7.31) и (7.32). Их ширину оцениваем по формулам (7.28), (7.29):

$$2\theta_{0,5}^H = 1,4\lambda/a_p = 1,4 \cdot 3/8,52 \approx 0,493 \text{ рад;}$$

$$2\theta_{0,5}^E = 0,93\lambda/b_p = 0,93 \cdot 3/6,82 \approx 0,409 \text{ рад.}$$

5. Оптимальная коническая рупорная антенна имеет КНД в направлении максимума излучения  $D_0 = 320$ . Длина рупора  $L_{\text{опт}} = 1,2 \text{ м}$ . Определить длину волны, на которой работает антенна, и ширину ее ДН на уровне 0,5 по мощности в  $H$ - и  $E$ -плоскостях.

*Решение*

Из формулы (7.36) следует  $\frac{d_p}{\lambda} = \sqrt{\frac{D_0}{5}}$ .

На основании формул (7.34) и (7.35) имеем

$$2\theta_{0,5}^H \approx 1,23 \frac{\lambda}{d_p} = 1,23 \sqrt{\frac{5}{D_0}} = 1,23 \sqrt{\frac{5}{320}} \approx 0,154 \text{ рад,}$$

$$2\theta_{0,5}^E \approx 1,05 \frac{\lambda}{d_p} = 1,05 \sqrt{\frac{5}{D_0}} = 1,05 \sqrt{\frac{5}{320}} \approx 0,131 \text{ рад.}$$

Рабочую длину волны определяем, используя соотношение (7.33) и учитывая, что  $d_p = \lambda \sqrt{D_0/5}$ . Тогда  $L_{\text{опт}} = \lambda (D_0/12 - 0,15)$ , откуда

$$\lambda = \frac{L_{\text{опт}}}{12} = \frac{1,2}{\frac{320}{12} - 0,15} = \frac{1,2}{320 - 12} = 0,15 \text{ м.}$$

6. Определить фокусное расстояние зеркальной антенны в виде параболоида вращения с углом раскрытия  $\psi_p = 60^\circ$ , максимальный

КНД которой на волне длиной 3 см составляет  $D_0 = 400$ . Коэффициент использования поверхности раскрытия принять равным 0,6.

*Решение*

Геометрическую площадь  $S_p$  раскрытия зеркала определяем согласно (7.12) и (7.13):  $S_p = \frac{D_0 \lambda^2}{4\pi\nu} = \frac{400 \cdot 9}{4\pi \cdot 0,6} = 477,7 \text{ см}^2$ .

Диаметр параболического зеркала будет

$$d_p = \sqrt{\frac{4S_p}{\pi}} = \sqrt{\frac{4 \cdot 477,7}{3,14}} = \sqrt{608,5} = 24,7 \text{ см.}$$

Фокусное расстояние определяем, пользуясь формулой (7.38):

$$f_a = \frac{d_p \operatorname{ctg}(\psi_p/2)}{4} = \frac{24,7 \operatorname{ctg} 30^\circ}{4} = \frac{24,7 \cdot 1,73}{4} = 10,7 \text{ см.}$$

7. Параболическая антенна с осесимметричным зеркалом диаметром  $d_p = 4,5 \text{ м}$  возбуждается полуволновым избиратором с дисковым контрефлектором и работает на волне длиной  $\lambda = 20 \text{ см}$ . Определить оптимальное фокусное расстояние зеркала, угол его раскрытия и электрические параметры антенны.

*Решение*

Показатель степени в выражении для нормированной амплитудной ДН полувлнового избиратора с дисковым контрефлектором равен  $m = 2$ . Согласно табл. 7.1 при  $m = 2$  имеем  $f_{\text{опт}}/d_p = 0,4 - 0,5$ .

Возьмем среднее значение. Тогда

$$f_{\text{опт}} = 0,45d_p = 0,45 \cdot 4,5 = 2,025 \text{ м.}$$

Из соотношения (7.38) находим

$$\psi_p = 2 \operatorname{arctg} \frac{d_p}{4f_{\text{опт}}} = 2 \operatorname{arctg} \frac{4,5}{4 \cdot 2,025} \approx 1,02 \text{ рад.}$$

По формулам (7.39)–(7.41) получаем

$$2\theta_{0,5}^H \approx 1,2 \frac{\lambda}{d_p} = 1,2 \frac{20}{450} \approx 53 \text{ мрад;}$$

$$2\theta_{0,5}^E \approx 1,3 \frac{\lambda}{d_p} = 1,3 \frac{20}{450} \approx 58 \text{ мрад;}$$

$$D_0 \geq 5,5 \left( \frac{d_p}{\lambda} \right)^2 = 5,5 \left( \frac{450}{20} \right)^2 \cong 2800.$$

8. Определить параметры антены с зеркалом в виде параболического цилиндра и КБВ в фидере облучателя. Диаметр цилиндра  $d_p = 20$  см, длина образующей  $a_p = 80$  см, фокусное расстояние  $f_a = 30$  см. Антенна работает на волне длиной  $\lambda = 3$  см, КНД облучателя в осевом направлении  $D_{\text{обл}} = 4$ .

*Решение*

По формулам (7.53)–(7.56) находим:

$$2\theta_{0,5}^{xoz} \approx 1,27 \frac{\lambda}{d_p} = 1,27 \cdot \frac{3}{20} \approx 0,19 \text{ рад};$$

$$2\theta_{0,5}^{yoz} \approx 0,89 \frac{\lambda}{a_p} = 0,89 \frac{3}{80} \approx 0,033 \text{ рад}.$$

$$D_0 \approx 10 \frac{a_p d_p}{\lambda^2} = 10 \cdot \frac{80 \cdot 20}{3^2} \approx 1780;$$

$$K_{\text{БВ}} = \frac{1 - \frac{D_{\text{обл}}}{2\pi} \sqrt{\lambda/f_a}}{1 + \frac{D_{\text{обл}}}{2\pi} \sqrt{\lambda/f_a}} = \frac{1 - \frac{4}{2\pi} \sqrt{3/30}}{1 + \frac{4}{2\pi} \sqrt{3/30}} = 0,67.$$

9. Определить толщину ускоряющей металло пластинчатой линзы, если расстояние между пластинами  $a_1 = 5,5$  см, длина волны  $\lambda = 10$  см, фокусное расстояние и диаметр линзы составляют  $f_a = 180$  см и  $d_p = 180$  см.

*Решение*

Показатель преломления линзы равен

$$n = \sqrt{1 - \left(\frac{\lambda}{2a_1}\right)^2} = \sqrt{1 - \left(\frac{10}{2 \cdot 5,5}\right)^2} = 0,42.$$

Толщину линзы находим по формуле (7.60):  $h = \frac{f_a}{1+n} -$

$$-\sqrt{\left(\frac{f_a}{1+n}\right)^2 - \frac{d_p^2}{4(1-n^2)}} = \frac{180}{1,42} - \sqrt{\left(\frac{180}{1,42}\right)^2 - \frac{180^2}{4(1-0,174)}} = 64,9 \text{ см}.$$

10. Определить КНД в направлении максимума излучения зонированной металло пластинчатой линзы, работающей на волне длиной  $\lambda = 13$  см и

- имеющей параметры:  $q = 3$ ;  $\Delta f / f_{\text{ср}} = 10\%$ ;  $d_p = f_a$ . Рассчитать технические допуски на точность изготовления антенны.

*Решение*

Из формулы (7.68) находим коэффициент преломления линзы

$$n = \frac{50}{\Delta f} f_{\text{ср}} - q = \frac{50}{10} - 3 = 2.$$

Поскольку  $d_p = f_a$ , то выражение для  $f_a$ , входящее в формулу (7.67), принимает значение

$$f_q = \frac{\sqrt{1,25-n}}{1-n} f_a = \frac{\sqrt{1,25-0,5}}{0,5} f_a \approx 1,24 f_a.$$

$$\text{Тогда } q = 1 + \frac{(f_q - f_a)(1-n)}{\lambda} = 1 + \frac{0,24 f_a (1-n)}{\lambda}, \text{ откуда}$$

$$f_a = d_p = \frac{(q-1)\lambda}{0,24(1-n)} = \frac{2 \cdot 13}{0,24 \cdot 0,5} \approx 2,16 \text{ м}.$$

Из формулы (7.69) получаем

$$D_0 \approx 7,5 \frac{S_p}{\lambda^2} = \frac{7,5 \pi d_p^2}{\lambda^2} = \frac{7,5 \pi \cdot 216^2}{4 \cdot 13^2} \approx 1630.$$

Расстояние между пластинами линзы  $a_1$  находим из формулы для коэффициента преломления  $n = \sqrt{1 - (\lambda/2a_1)^2}$ :

$$a_1 = \frac{\lambda}{2\sqrt{1-n^2}} = \frac{13}{2\sqrt{1-0,5^2}} = 7,5 \text{ см}.$$

Технические допуски на точность изготовления линзовой антенны рассчитывают по формулам (7.72) и (7.73):

$$\Delta p \leq \frac{\lambda}{16(1-n)} = \frac{13}{16 \cdot 0,5} \approx 1,63 \text{ см};$$

$$\Delta z \leq \frac{\lambda}{2} = \frac{13}{2} = 6,5 \text{ см};$$

$$\Delta a_1 \leq \frac{n \lambda a_1}{2 d_p (1+n)} = \frac{0,5 \cdot 13 \cdot 7,5}{2 \cdot 216 \cdot 1,5} \approx 0,75 \text{ мм}.$$

1.1. Рассчитать  $H$ -плоскостной рупор с корректирующей металлической пластинчатой линзой внутри него. Антенна должна работать на волне длиной  $\lambda = 8$  см и иметь КНД в осевом направлении  $D_0 = 15$ .

*Решение*  
Размеры попреречного сечения рупора в месте соединения его с волноводом определяются стандартом волновода и составляют:

$$a = 0,71\lambda = 0,71 \cdot 8 = 5,8 \text{ см}, \quad b = 0,32\lambda = 0,32 \cdot 8 = 2,6 \text{ см}.$$

Благодаря корректирующей линзе поле в раскрыве рупора синфазно. Это позволяет считать, что КИП антенны в плоскости  $H$ , где амплитуда постоянна, равен  $v_E = 1$ , а в плоскости  $E$ , где амплитуда поля меняется по косинусоидальному закону, равен  $v_H = 0,81$ . Зная КИП, можно по формулам (7.12), (7.13) найти КНД в плоскостях  $E$  и  $H$  в направлении максимума ДН:

$$D_0^H = \frac{4\pi}{\lambda^2} v_H S_p = \frac{4\pi}{8^2} \cdot 0,81 S_p = 0,16 S_p,$$

$$D_0^E = \frac{4\pi}{\lambda^2} v_E S_p = \frac{4\pi}{8^2} \cdot S_p = 0,2 S_p.$$

Следовательно, средний КНД антенны равен

$$D_0 = \sqrt{D_0^H D_0^E} = \sqrt{0,2 \cdot 0,16} S_p = 0,18 S_p.$$

Отсюда определим геометрическую площадь раскрыва антенны

$$S_p = \frac{D_0}{0,18} = \frac{15}{0,18} = 83 \text{ см}^2.$$

Найдем размеры раскрыва рупора  $a_p, b_p$ . Поскольку рупор секториальный, то  $b_p = b = 2,6$  см, а для  $a_p$  имеем

$$a_p = \frac{S_p}{b_p} = \frac{83}{2,6} = 31,9 \text{ см}.$$

Выберем оптимальное значение показателя преломления линзы, которое равно  $n = 0,5$ . Найдем угол раскрыва рупора  $\psi_p$ . Известно, что с уменьшением  $\psi_p$  линза облучается более равномерно, но при этом возрастает длина рупора. Поэтому возьмем промежуточное значение угла раскрыва  $\psi = 25^\circ$ .

Длину рупора  $L$  определим из простого геометрического соотношения  $\sin \psi = \frac{a_p}{2L}$ , откуда находим  $L = \frac{a_p}{2 \sin \psi_p} = \frac{31,9}{2 \cdot 0,4226} = 37,7 \text{ см}$ .

По формуле (7.60) рассчитаем толщину линзы  $h$ , полагая, что выполняется соотношение  $f_a = L = 37,7 \text{ см}$ :

$$\begin{aligned} h &= \frac{f_a}{1+n} - \sqrt{\left(\frac{f_a}{1+n}\right)^2 - \frac{a_p^2}{4(1-n^2)}} = \\ &= \frac{37,7}{1+0,5} - \sqrt{\left(\frac{37,7}{1+0,5}\right)^2 - \frac{31,9^2}{4(1-0,5^2)}} = 8 \text{ см}. \end{aligned}$$

Найдем расстояние между пластинами линзы  $a_1$ . Показатель преломления волноводной линзы равен  $n = \sqrt{1 - (\lambda/2a_1)^2}$ , поэтому

$$a_1 = \frac{\lambda}{2\sqrt{1-n^2}} = \frac{8}{2\sqrt{1-0,5^2}} = 4,7 \text{ см}.$$

Количество пластин  $m$  в линзе определим из соотношения

$$m = \frac{a_p}{a_1} + 1 = \frac{31,9}{4,7} + 1 = 7,8.$$

Округляем значения  $m$  до восьми и соответственно увеличиваем размер раскрыва до  $a_p = 7a_1 = 7 \cdot 4,7 = 32,9 \text{ см}$ , а длину рупора до

$$\text{мощности } L = \frac{a_p}{2 \sin \psi_p} = \frac{32,9}{2 \cdot 0,4226} = 38,9 \text{ см}.$$

Фокусное расстояние оставляем прежним. Форму пластин рассчитываем, исходя из уравнения профиля линзы (7.57).

Определим ширину ДН антенны. Считаем, что линза обеспечила синфазность поля в раскрыве антенны и не нарушила существенно распределение амплитуды поля. Поэтому ширина ДН может быть найдена по формулам (7.21) и (7.22):

$$\text{в плоскости } H \quad 20_{0,5}^H \approx 1,4 \frac{\lambda}{a_p} = 57,3 \cdot 1,4 \frac{8}{31,9} = 20,1^\circ;$$

$$\text{в плоскости } E \quad 20_{0,5}^E \approx 0,89 \frac{\lambda}{b_p} = 57,3 \cdot 0,89 \frac{8}{2,6} = 156,9^\circ.$$

**Задачи для самостоятельного решения**

**Волноводные излучатели**

7.1. Определить максимальный коэффициент усиления и эффективную площадь излучателя в виде открытого конца прямоугольного волновода с поперечным сечением  $a \times b = 2,3 \times 1$  см, работающего на волне длиной  $\lambda = 3$  см. Потери не учитывать.

7.2. Определить ширину ДН (в радианах) в  $H$ - и  $E$ -плоскостях и максимальный КНД излучателя в виде открытого конца прямоугольного волновода сечением  $a \times b = 6,1 \times 1$  см, возбуждаемого на волне длиной  $\lambda = 6$  см.

7.3. Максимальный КНД открытого конца прямоугольного волновода, возбуждаемого на волне длиной  $\lambda = 8,6$  см, равен  $D_0 = 3,4$ . Размер широкой стенки волновода  $a = 7,2$  см. Определить размер его узкой стенки.

7.4. Во сколько раз ширина ДН открытого конца прямоугольного волновода на уровне 0,5 по мощности в плоскости  $E$  больше ширины ДН на том же уровне в плоскости  $H$ , если размеры сечения волновода связаны соотношением  $a = 2b$ ?

7.5. Открытый конец прямоугольного волновода характеризуется параметрами:  $2\theta_{0,5}^H = 2$  рад.,  $D_0 = 1,5$ . Определить относительные (новые) размеры поперечного сечения волновода.

7.6. Излучатель в виде открытого конца прямоугольного волновода характеризуется параметрами:  $2\theta_{0,5}^H = 1,75$  рад;  $2\theta_{0,5}^E = 1,4$  рад. Определить КНД излучателя в направлении максимума ДН.

7.7. Определить ширину ДН (в радианах) в главных плоскостях и максимальный КНД излучателя в виде открытого конца круглого волновода, возбуждаемого на волне длиной  $\lambda = 3,2$  см. Внутренний диаметр волновода  $2a = 2,4$  см.

7.8. Максимальный КНД открытого конца круглого волновода, возбуждаемого на волне длиной  $\lambda = 10$  см, равен  $D_0 = 3$ . Определить внутренний диаметр волновода.

7.9. Определить длину волны, на которой возбуждается открытый конец круглого волновода диаметром  $2a = 3,6$  см, если его максимальный КНД равен  $D_0 = 3,7$ .

7.10. Во сколько раз ширина ДН открытого конца круглого волновода на уровне 0,5 по мощности в плоскости  $H$  больше ширины ДН на том же уровне в плоскости  $E$ ?

7.11. Максимальный КНД открытого конца круглого волновода  $D_0 = 5$ . Определить ширину ДН (в радианах) на уровне 0,5 по мощности в плоскостях  $H$  и  $E$ .

7.12. Ширина ДН открытого конца круглого волновода на уровне 0,5 по мощности в плоскости  $H$  равна  $2\theta_{0,5}^H = 1,75$  рад. Определить максимальный КНД антennы и ширину ее ДН на указанном уровне в плоскости  $E$ .

7.13. Прямоугольная апертура с размерами  $a \times b = 30 \times 150$  см излучает на волне длиной 3 см. Распределение фазы поля в пределах апертуры постоянное, а амплитуда поля постоянна вдоль размера  $b$ , а ширина размера  $a$  изменяется по косинусоидальному закону от максимума в середине до нуля на краях. Определить эффективную поверхность и максимальный КНД апертуры.

**Рупорные антенны**

7.14. Определить максимальный КНД  $H$ -плоскостного секториального рупора оптимальных размеров, который, имея  $a_p = 60$  см и  $b_p = 6,4$  см, принимает волны длиной  $\lambda = 20$  см.

7.15. Определить в плоскостях  $E$  и  $H$  ширину ДН (в радианах)  $H$ -плоскостного секториального рупора оптимальных размеров ( $a_p = 60$  см,  $b_p = 6,4$  см), который принимает волны длиной  $\lambda = 20$  см.

7.16. Определить оптимальные размеры  $H$ -плоскостного секториального рупора, имеющего на волне длиной 10 см максимальный КНД, равный 20.

7.17. Определить оптимальные размеры прямоугольного  $H$ -плоскостного секториального рупора, максимальный КНД которого на волне длиной 3 см равен 30.

7.18. Определить ширину ДН (в радианах) в  $H$ - и  $E$ -плоскостях и максимальный КНД оптимального  $H$ -плоскостного секториального рупора, возбуждаемого прямоугольным волноводом на волне длиной  $\lambda = 3,2$  см. Длина рупора  $L_{opt}^H = 25$  см. Размеры горловины рупора:  $a = 2,3$  см,  $b = 1$  см.